

# Model Chandrasekhara / Smoluchowskiego - 1 pudełko

Piotr Piękos

29 lipca 2019

## 1 Oznaczenia

W celach notacyjnych rozbijemy proces  $X(t)$  (ilość żyjących osób) na dwa procesy:

- $N(t)$  - Ilość narodzin
- $S(t)$  - Ilość śmierci

Wtedy  $X(t) = N(t) - S(t)$ , Dodatkowo oznaczymy intensywności procesów przez:

- $a_N$  - intensywność procesu narodzin
- $a_S$  - parametr rozkładu wykładniczego odpowiadającego za długość życia

Dodatkowe oznaczenia:

- $I_X(t)$  - indeksy "żywych" zmiennych w momencie  $t$ .
- $W_i$  - zmienna losowa (o rozkładzie wykładniczym z parametrem  $a_S$ ) mówiąca o długości życia osoby  $i$

Możnaby spróbować zamodelować  $S(t)$  jako niejednorodny proces Poissona z intensywnością zależną od  $N(t)$ . Ja jednak to rozdzieliłem jedynie ze względów notacyjnych.

## 2 Prawa ewolucji

$P(X(t+h) = x+1 | X(t) = 1)$ :

Korzystamy tutaj z faktu, że dla procesu Poissona (N) mamy:

- $P(N(t+h) = n+1 | N(t) = n) = a_N h + o(h)$
- $P(N(t+h) \geq n+2 | N(t) = n) = o(h)$

Dodatkowo:

- $P(N(t+h) = n | N(t) = n) = 1 - a_N h + o(h)$
- $P(S(t+h) = s | S(t) = s, X(t) = x) = P(\forall_i \in I_X(t) W_i \geq h) + o(h) = \prod_{i \in I_X(t)} P(W_i \geq h) + o(h) = e^{-a_S x h} + o(h) = 1 - a_S x h + o(h)$
- $P(S(t+h) = s+1 | S(t) = s, X(t) = x) = x(e^{-a_S(x-1)h} - e^{-a_S x h}) + o(h) = a_S x h + o(h)$
- $P(S(t+h) = s+2 | S(t) = s, X(t) = x) = o(h)$

$o(h)$  pojawia się już po pierwszej równości ze względu na to, że przy dokładnym rozpisaniu prawdopodobieństw należałoby warunkować w którym momencie  $X(t)$  się zmieni ( $X$  jest zależny od  $S$ ), jednak ta różnica jest  $o(h)$ , więc po prostu jest zawarta w tym.

zatem

$$\begin{aligned} P(X(t+h) = x+1 | X(t) = x) = \\ P(N(t+h) = n+1 | N(t) = n) \cdot P(S(t+h) = s | S(t) = s, X(t) = x) = \\ (a_N h + o(h)) \cdot (1 - a_S x h + o(h)) = \\ a_N h + o(h) \end{aligned}$$

$$\begin{aligned} P(X(t+h) = x-1 | X(t) = x) = \\ P(N(t+h) = n | N(t) = n) \cdot P(S(t+h) = s+1 | S(t) = s, X(t) = x) = \\ (1 - a_N h + o(h)) \cdot (a_S x h + o(h)) = \\ a_S x h + o(h) \end{aligned}$$

Czyli mamy

- $P(X(t+h) = x+1 | X(t) = x) = a_N h + o(h)$
- $P(X(t+h) = x-1 | X(t) = x) = a_S x h + o(h)$

wzory te razem z  $Q(x, x) = -a_N h - a_S x h$  i zerami w pozostałych wierszach opisują intensywność przejść procesu Markowa

## 3 Symulacje

### 3.1 Algorytm

Algorytm symulacji składa się z dwóch części:

1. standardowa symulacja procesu Poissona (czasy narodzin)
2. symulacja czasów życia z rozkładu wykładniczego o parametrze  $a_S$

Konkretnie:

Gen  $N \sim Poiss(a_N t)$

for  $i = 1$  to  $N$  do Gen  $U_i \sim U(0, t)$ , Gen  $L_i \sim Exp(1/a_S)$

$(T_1, \dots, T_n) = \text{Sort}(U_1, \dots, U_n)$  otrzymujemy proces Poissona, czasy narodzin

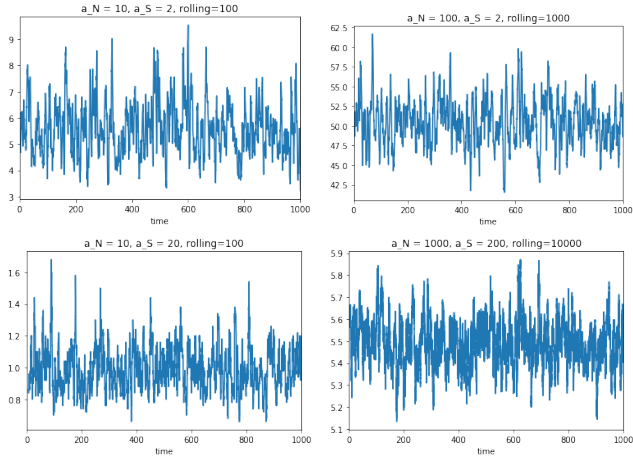
$(D_1, \dots, D_n) = (T_1 + L_1, \dots, T_n + L_n)$  - dodajemy niezależne czasy życia do czasów narodzin i mamy czasy śmierci.

Algorytm korzysta z gotowych bibliotek (numpy) do symulacji rozkładów Poissona i rozkładu wykładniczego. Dodatkowo wykorzystuje w nich możliwość wektoryzacji. Ale można to zrobić surowo od rozkładu jednostajnego np. za pomocą metody odwracania dystrybuantry oraz chociażby metody eliminacji.

### 3.2 Przykładowe trajektorie

Wygenerowane wykresy są sparametryzowane 3 parametrami:

- $a_- N - a_N$



Rysunek 1: Przykładowe trajektorie symulacji

- $a_N S - a_S$
- rolling - długość horyzontu średniej kroczącej, średnia krocząca jest konieczna dla wielu wykresów ze względu na ogromną ilość punktów na wykresie. Pokazuje jednak ona "gęstość" punktów.

W trajektoriach należy także zwrócić uwagę na skalę, gdyż ona odgrywa kluczową rolę.

Od razu widać, że wyróżnioną liczbą jest  $\frac{a_N}{a_S}$ . Proces oscyluje w jej okolicach, co jest zrozumiałe po spojrzeniu na prawa ewolucji. Mówią one, że punkt  $\frac{a_N}{a_S}$  jest punktem granicznym dla którego intensywność śmierci jest taka sama jak intensywność narodzin.

Możnaby pokusić się o alternatywną parametryzację procesu za pomocą parametrów  $a = \frac{a_N}{a_S}$  i  $b = a_S$ , wtedy  $a$  reprezentowałaby punkt w okół którego symulacja będzie oscylować, a  $b$  reprezentowałby gęstość punktów.

Skyupmy się teraz na dwóch procesach o tym samym parametrze  $a(\frac{a_N}{a_S})$ . Są widoczne na pierwszym i ostatnim wykresie wyżej

( $\frac{a_N}{a_S} = 5$ ). Na wykresach widać po pierwsze większy parametr rolling który jest konieczny ze względu na większą gęstość punktów. Z tych wykresów możnaby też odczytać, że gęstszy wykres ma mniejsze odchylenia, jednak byłoby to błędne, gdyż jest to spowodowane jedynie wygładzeniem przez średnią kroczącą.

## 4 Analiza

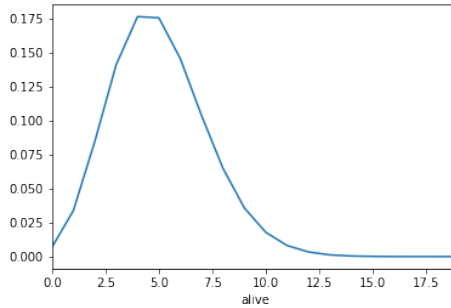
### 4.1 Rozkładu stacjonarnego

Empiryczną masę rozkładu można łatwo zdefiniować przez częstość występowania procesu w danym stanie (gdzie stan jest zdefiniowany przez ilość żywych osób).

czyli

$$P(X = n) = \frac{\int \mathbb{I}_{\{X(t)=n\}} dt}{t}$$

Symulacyjnie rozkład jest stabilny od parametrów, dodatkowo statystyką dostateczną dla rozkładu jest  $\frac{a_N}{a_S}$ .



Rysunek 2: Przykładowa symulacja dla  $a_N = 10$ ,  $a_S = 2$ ,  $t = 100000$

## 4.2 Wartość oczekiwana

Mając empiryczny rozkład prawdopodobieństwa wartość oczekiwana jest prostolinijna do policzenia za pomocą tradycyjnego wzoru na wartość oczekiwaną.

z symulacji jasno wynika, że

$$\lim_{t \rightarrow \infty} \mathbb{E}X = \frac{a_N}{a_S}$$

## 4.3 Postać rozkładu stacjonarnego i testy statystyczne

Rozkład stacjonarny można wyprowadzić z zależności  $\pi Q = 0$  lub zgadnąć na podstawie symulacji.

$$\pi = Poiss\left(\frac{a_N}{a_S}\right)$$